

ПОЛИХРОМАТИЧЕСКАЯ КОРРЕКЦИЯ АБЕРРАЦИЙ В ОСЕВОЙ ТОЧКЕ ЦЕНТРИРОВАННЫХ ОПТИЧЕСКИХ СИСТЕМ

С. А. РОДИОНОВ, Л. М. ЛАПО

При расчете оптических систем весьма важным является вопрос оптимальной балансировки остаточных aberrаций. Балансировка остаточных монохроматических aberrаций достаточно изучена [1--3]; здесь рассматривается практически важный случай полихроматической коррекции aberrаций.

Для дифракционно-ограниченных систем (у которых aberrации малы) хорошим критерием влияния остаточных монохроматических aberrаций на качество оптического изображения является средняя квадратичная волновая aberrация [1]

$$\sigma = \sqrt{E} = \sqrt{\overline{W^2} - (\overline{W})^2}, \quad (1)$$

где E – дисперсия волновой aberrации; \overline{W} и $\overline{W^2}$ – усредненные по зрачку величины волновой aberrации и ее квадрата. Как показал Марешаль [1], E при малых aberrациях связана простой зависимостью с числом Штреля (относительной интенсивностью в центре пятна рассеяния):

$$I \approx 1 - \left(\frac{2\pi}{\lambda}\right)^2 E. \quad (2)$$

Обобщим этот критерий применительно к конечному интервалу длин волн, определив полихроматическую среднюю квадратичную волновую aberrацию (1), производя усреднение по зрачку и спектральному интервалу. Величины \overline{W} и $\overline{W^2}$ для круглого зрачка, определяются следующим образом:

$$\begin{aligned} \overline{W} &= \int_0^1 \int_{-1}^1 W(x, \rho) \rho \, d\rho dx, \\ \overline{W^2} &= \int_0^1 \int_{-1}^1 W^2(x, \rho) \rho \, d\rho dx. \end{aligned} \quad (3)$$

Здесь ρ – каноническая относительная зрачковая координата [4] ($0 \leq \rho \leq 1$); x – относительная спектральная координата [5] ($-1 \leq x \leq 1$), причем

$$x = \frac{\lambda - \lambda_0}{\Delta\lambda}, \quad \lambda_0 = \frac{\lambda_{\text{inf}} + \lambda_{\text{sup}}}{2}, \quad \Delta\lambda = \frac{\lambda_{\text{sup}} - \lambda_{\text{inf}}}{2},$$

где λ_0 – центральная (основная) длина волны; $\lambda_{\text{inf}}, \lambda_{\text{sup}}$ – границы рабочего интервала длин волн.

Представим волновую aberrацию в виде разложения в ряд по координатам ρ, x . Для осевой точки центрированных оптических систем вследствие симметрии вращения $W(x, \rho)$ зависит от четных степеней ρ , поэтому

$$W(x, \rho) = \sum_{l=0}^{\infty} \sum_{k=1}^{\infty} l W_{2k0} x^l \rho^{2k}, \quad (4)$$

где $(2k - 1)$ – порядок монохроматической aberrации; l – порядок хроматизма.

Проведенное авторами исследование aberrаций значительного количества (более 200) объективов различного назначения: микрообъективов с апертурой до 0,5, фотографических, телевизионных и визуальных с относительным отверстием до 1 : 2 и фокусным расстоянием от 5 мм до 10 м – показало, что для большинства оптических систем в осевой точке достаточно ограничиться следующими членами разложения:

$$W(x, \rho) = ({}_0W_{20} + {}_1W_{20}x + {}_2W_{20}x^2)\rho^2 + ({}_0W_{40} + {}_1W_{40}x + {}_2W_{40}x^2)\rho^4 + {}_0W_{60}\rho^6, \quad (5)$$

где ${}_0W_{20}, {}_1W_{20}, {}_2W_{20}$ – коэффициенты расфокусировки, первичного и вторичного хроматизма положения; ${}_0W_{40}, {}_1W_{40}, {}_2W_{40}$ – коэффициенты сферической aberrации третьего порядка, первичного и вторичного сферохроматизма; ${}_0W_{60}$ – коэффициент сферической aberrации пятого порядка.

Для осевой точки предмета удобно рассматривать продольные aberrации, которые связаны с волновыми выражением

$$\Delta s'(x, \rho) = \frac{\lambda_0}{A_0'^2} \frac{1}{\rho} \frac{\partial W(x, \rho)}{\partial \rho}, \quad (6)$$

где A_0' – задняя центральная апертура.

Графики зависимости продольной aberrации принято строить от координаты ρ для нескольких длин волн: основной λ_0 и границ интервала λ_{inf} и λ_{sup} , как показано на рис.1, а и 2, а. Рассмотрим продольные aberrации первичного и вторичного хроматизма, позволяющие упростить построение графиков и сделать их более наглядными.

Учитывая (5), выражение (6) продольной aberrации для основной длины волны приводим к виду:

$$\Delta s'(\rho^2) = \Delta s'(0, \rho^2) = \frac{2\lambda_0}{A_0'^2} ({}_0W_{20} + 2{}_0W_{40}\rho^2 + 3{}_0W_{60}(\rho^2)^2) \quad (7)$$

При этом для первичного хроматизма имеем

$$\Delta(\rho^2) = \Delta s'(+1, \rho^2) - \Delta s'(-1, \rho^2) = \frac{4\lambda_0}{A_0'^2} ({}_1W_{20} + 2{}_1W_{40}\rho^2), \quad (7')$$

а для вторичного

$$\delta(\rho^2) = \frac{\Delta s'(1, \rho^2) - \Delta s'(-1, \rho^2)}{2} - \Delta s'(0, \rho^2)$$

получаем

$$\delta(\rho^2) = \frac{2\lambda_0}{A'_0{}^2} ({}_2W_{20} + 2{}_2W_{40}\rho^2) \quad (7'')$$

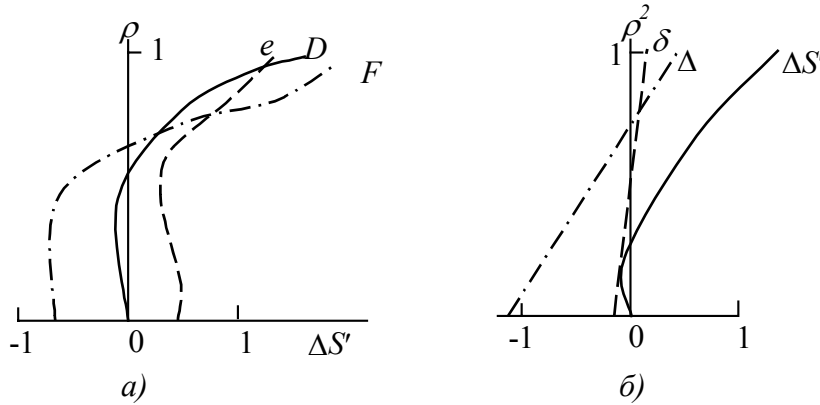


Рис.1

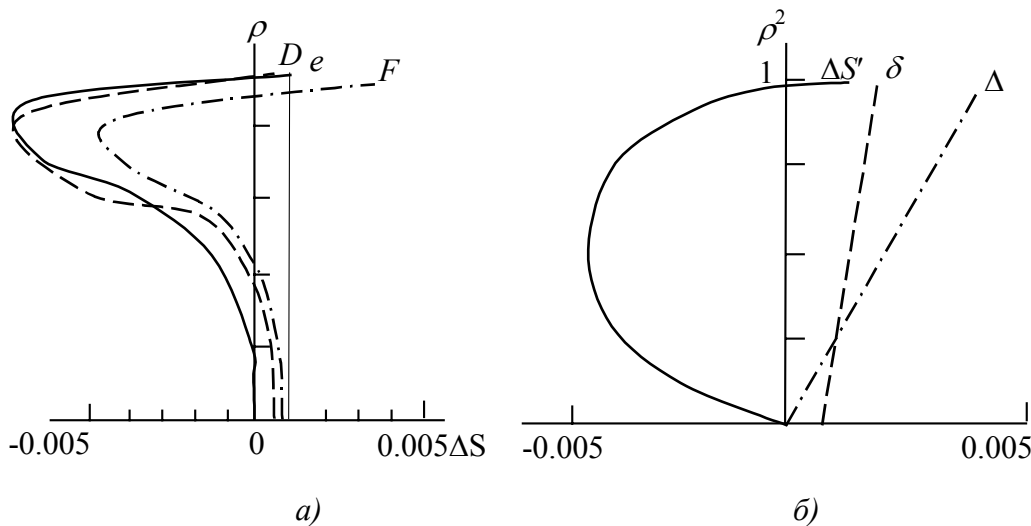


Рис.2

В пределах разложения (5) график $\Delta s'(\rho^2)$ описывает параболу, а $\Delta(\rho^2)$ и $\delta(\rho^2)$ – прямые линии (см. рис. 1, б и 2, б). Отклонение графиков от указанной формы свидетельствует о наличии членов высшего порядка, не учитываемых выражением (5). Поэтому форма графиков позволяет судить о корректности разложения (5) применительно к конкретным случаям исправления aberrаций оптических систем. Кроме того, если график $\Delta s'(\rho^2)$ – прямая линия, то отсутствует сферическая aberrация пятого порядка (${}_0W_{60} = 0$), а если $\Delta(\rho^2)$ и $\delta(\rho^2)$ параллельны оси ординат, то отсутствует сферохроматизм (${}_1W_{20} = W_{40} = 0$) и т.д. Как будет показано, вид графиков позволяет оценить и степень балансировки aberrаций различных порядков.

Коэффициенты разложения (4) легко найти по значениям продольных aberrаций на оси: $\Delta s_0' = \Delta s(0), \Delta_0 = \Delta(0), \delta_0 = \delta(0)$, на краю зрачка: $\Delta s_1' = \Delta s(1), \Delta_1 = \Delta(1), \delta_1 = \delta(1)$, и в зоне: $\Delta s_{0,5}' = \Delta s'(0,5), \Delta_{0,5} = \Delta(0,5), \delta_{0,5} = \delta(0,5)$, при $\rho^2 = 0,5$ полученных расчетом одного нулевого и двух действительных лучей. Подставляя эти значения в (7)-(7'') и решая получившуюся систему линейных уравнений относительно неизвестных коэффициентов, находим:

$$\begin{aligned}
 {}_0W_{20} &= \alpha \Delta s_0', \\
 {}_0W_{20} &= \frac{a}{2} \Delta_0, \\
 {}_0W_{40} &= \frac{a}{2} (-\Delta s_1' + 4\Delta s_{0,5}'), \\
 {}_0W_{60} &= \frac{2}{3} \alpha (\Delta s_1' - 2\Delta s_{0,5}'), \\
 {}_1W_{40} &= \frac{a}{4} (\Delta_1 - \Delta_2), \\
 {}_2W_{40} &= \frac{a}{2} (\sigma_1 - \sigma_2), \\
 2{}_0W_{40} + 3{}_0W_{60} &= \Delta s_1', \\
 {}_1W_{20} + {}_1W_{40} &= \frac{a}{2} \Delta_{0,5}, \\
 {}_2W_{20} + {}_2W_{40} &= \alpha \delta_{0,5},
 \end{aligned} \tag{8}$$

где $\alpha = \frac{A_0'^2}{2\lambda_0}$.

Выразим среднюю квадратичную полихроматическую волновую aberrацию через коэффициенты ${}_lW_{2k0}$. Подставляя (4) в (3), после преобразований будем иметь

$$\begin{aligned}
 \sigma^2 = E &= \frac{1}{12} \left[{}_0W_{20} + {}_0W_{40} + \frac{9}{10} {}_0W_{60} + \frac{1}{3} ({}_2W_{20} + {}_2W_{40}) \right]^2 + \\
 &+ \frac{1}{180} \left[\left({}_0W_{40} + \frac{3}{2} {}_0W_{60} + \frac{1}{3} {}_2W_{40} \right)^2 + \frac{9}{140} {}_0W_{60}^2 \right] + \\
 &+ \frac{1}{36} \left[({}_1W_{20} + {}_1W_{40})^2 + \frac{1}{15} {}_1W_{40}^2 \right] + \frac{1}{135} \left[({}_2W_{20} + {}_2W_{40})^2 + \frac{1}{15} {}_2W_{40}^2 \right].
 \end{aligned} \tag{9}$$

Если не учитывать хроматические aberrации, т. е. принять ${}_1W_{20} = {}_1W_{40} = {}_2W_{20} = {}_2W_{40} = 0$, получим известное выражение [2].

Рассмотрим теперь задачу оптимальной балансировки aberrаций. Исходим из того факта, что aberrации более высокого порядка, а именно: сферическая пятого порядка ${}_0W_{60}$, первичный и вторичный сферохроматизм ${}_1W_{40}$ и ${}_2W_{40}$ – достаточно стабильны, определяются типом конструкции оптической системы и с трудом поддаются воздействию. Aberrации низших порядков: сферическая третьего порядка, хроматизм положения ${}_1W_{20}$ и ${}_2W_{20}$ управляются значительно легче изменением конструктивных параметров, а продольной расфокусировке ${}_0W_{20}$ можно придать любые значения в полностью рассчитанной системе, выбрав плоскость оптимальной установки. Следовательно, необходимо найти оптимальные соотношения между aberrациями низших и высших порядков и положение плоскости установки, обеспечивающее минимум средней квадратичной волновой aberrации σ .

Для монохроматического случая известны соотношения оптимальной балансировки [1, 3]

$${}_0W_{40} = -\frac{3}{2}{}_0W_{60}, \quad {}_0W_{20} = -\left({}_0W_{40} + \frac{9}{10}{}_0W_{60}\right),$$

требующие исправления aberrации на краю зрачка, $\Delta s_1' = 0$ и смещения плоскости установки на 0,8 от максимальной величины aberrации в зоне:

$$\Delta s_0' = -0,8\Delta s_{0,5}'.$$

Для случая полихроматического освещения из (9) и (8) получим соотношения оптимальной балансировки:

$$\begin{aligned} {}_0W_{20} &= -\left[{}_0W_{40} + \frac{9}{10}{}_0W_{60} + \frac{1}{3}({}_2W_{20} + {}_2W_{40})\right], \\ {}_0W_{40} &= -\left(\frac{3}{2}{}_0W_{60} + \frac{1}{3}{}_2W_{40}\right), \\ {}_1W_{20} &= -{}_1W_{40}; \quad {}_2W_{20} = -{}_2W_{40} \end{aligned} \quad (10)$$

или

$$\begin{aligned} \Delta s_1 &= -\frac{1}{3}(\delta_1 - \delta_0), \\ \Delta s_0' &= -\left(0,1\Delta s_1' + 0,8\Delta s_{0,5}' + \frac{1}{3}\delta_{0,5}\right), \\ \Delta_{0,5} &= 0; \quad \delta_{0,5} = 0. \end{aligned} \quad (11)$$

Видно, что хроматические aberrации балансируются независимо от монохроматических, а первичный и вторичный хроматизм – независимо друг от друга, причем для оптимальной балансировки хроматизма требуется равенство нулю хроматических aberrаций в зоне зрачка, т.е. графики продольного хроматизма должны пересекать ось ординат в точке $\rho^2 = 0,5$.

В соответствии с формулами (11) в полихроматическом случае на оптимальную форму кривой aberrации влияет вторичный сферохроматизм

${}_2W_{40}$: значение продольной aberrации на краю зрачка должно быть равно не нулю, как в монохроматическом случае, а составлять одну треть от продольного вторичного сферохроматизма – первое из выражений (10). В положении плоскости наилучшей установки Δs_0 также появляется член, зависящий от вторичного хроматизма; он равен одной трети вторичного хроматизма в зоне – вторая из формул (10).

Среднюю квадратичную волновую aberrацию полезно выразить через величины продольных aberrаций и продольного хроматизма; пользуясь уравнениями (8) и (9), представим E в виде суммы квадратов следующих aberrаций с учетом того, что плоскость оптимальной установки уже выбрана:

$$E = \frac{1}{7}a_5^2 + \frac{1}{15}c_1^2 + \frac{1}{15}c_2^2 + \frac{1}{5}a_3^2 + \frac{1}{9}a_1^2 + \frac{1}{9}d_2^2,$$

где $a_5 = \frac{\alpha}{30}(\Delta s_1' - 2\Delta s_{0,5}')$ – сферическая aberrация пятого порядка;

$c_1 = \frac{\alpha}{24}(\Delta_1 - \Delta_0)$ – первичный сферохроматизм; $c_2 = \frac{\alpha}{30}(\delta_1 - \delta_0)$ – вторичный

сферохроматизм; $a_3 = \frac{\alpha}{12}\left[\Delta s_1 + \frac{1}{3}(\delta_1 - \delta_0)\right]$ – дебаланс сферической aberrации и

сферохроматизма; $a_1 = \frac{\alpha}{4}\Delta_{0,5}$ – дебаланс первичного хроматизма; $a_2 = \frac{\alpha}{3}\delta_{0,5}$ – дебаланс вторичного хроматизма.

Так как эти члены входят в E в виде суммы квадратов, при коррекции aberrаций необходимо стремиться уменьшать каждый из них независимо от других; при этом по сравнительному вкладу каждого члена в общую сумму можно судить о типе коррекции. Так, если преобладают члены первичного хроматизма, то объектив следует отнести к неахроматизированным системам, если первичный хроматизм мал по сравнению со вторичным, – к ахроматам, если малы члены вторичного хроматизма, – к апохроматам.

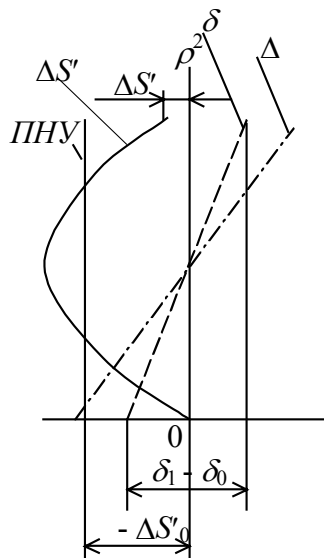


Рис.3

При оптимально сбалансированных aberrациях, когда члены низшего порядка наилучшим образом компенсируют члены высшего порядка, величины a_3, d_1 и d_2 равны нулю; при этом графики продольных aberrаций имеют вид, показанный на рис. 3. Отклонение членов a_3, d_1 и d_2 от нуля и соответственно графиков от формы, представленной на рис. 3, свидетельствует о наличии несбалансированных aberrаций низших порядков, которые, как уже отмечалось, исправляются легче, чем высшие, поэтому в первую очередь необходимо стремиться к уменьшению до нуля именно этих членов.

Полученные выражения позволяют судить о состоянии коррекции и определять σ по графикам продольной aberrации, если строить их так, как показано на рис. 1, б, 2, б. Проиллюстрируем это на примере двух объективов-апохроматов (рис. 1 и 2). Из рис. 1, б следует, что у первого объектива коррекция хроматизма близка к оптимальной, коррекция же монохроматической aberrации далека от таковой. У второго объектива (рис. 2, б) монохроматические aberrации сбалансированы лучше, чем хроматические, а коррекция хроматизма выполнена хуже. Видно, что aberrации этих объективов удовлетворительно описываются формулой (5), отступлений от прямолинейной и параболической форм кривых незаметно. Графики aberrаций тех же объективов, построенные в традиционной манере (рис. 1, а и 2, а), менее наглядны.

ВЫВОДЫ

1. Получено аналитическое выражение (9), позволяющее определять средний квадрат деформации волнового фронта в полихроматическом свете по результатам расчета трех лучей для точки на оси.

2. Выражение состоит из слагаемых aberrаций первого, третьего и пятого порядков, а также членов, определяющих баланс соответствующих aberrаций.

3. По величине любого из слагаемых оценивается вклад данной aberrации в общую ошибку волнового фронта. Оптимальная коррекция aberrаций определяется по величине членов, выражающих баланс соответствующих aberrаций.

4. Предложен графоаналитический метод оценки оптимальной коррекции aberrаций по графикам первичного и вторичного хроматизма.

ЛИТЕРАТУРА

1. Марешаль А., Франсон М. Структура оптического изображения. – М.: Мир, 1964.
2. Horkins Н. Н. – Optika Acta, 1966, vol. 13, № 4.
3. Зверев В. А. и др. – Опт. и спектр., 1974, т. 37, с. 1150.
4. Horkins Н. Н. – Jap. Journal of Appl. Phys., 1965, vol. 4, suppl. 1.
5. Родионов С. А., Сокольский М. Н., Лапо Л. М. – Опт. и спектр., 1977, т. 43, с. 1104.